# Un modelo discreto de la red regulatoria del factor nuclear NF- $\kappa B$

#### Mercedes S. Pérez Millán

Departamento de Matemática Facultad de Ciencias Exactas y Naturales Universidad de Buenos Aires



30 de Septiembre de 2010

### Trabajo conjunto con:

- Abdul Salam Jarrah, American University of Sharjah.
- Juan Ignacio Fuxman Bass, Universidad de Buenos Aires.

### Contenido

- 1 Introducción
- 2 Modelo
- 3 Resultados
- 4 Conclusiones
- Trabajo en curso
- 6 Referencias



### ¿Quién es NF- $\kappa$ B?

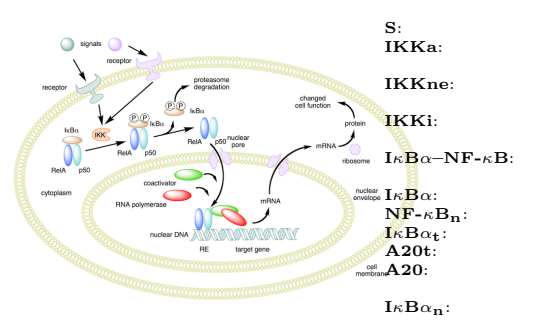
Las proteínas del grupo NF- $\kappa$ B son un conjunto de factores de transcripción involucradas en importantes procesos celulares que incluyen respuestas inflamatorias así como también la regulación de la apoptosis.



### ¿Quién es NF- $\kappa$ B?

Las proteínas del grupo NF- $\kappa$ B son un conjunto de factores de transcripción involucradas en importantes procesos celulares que incluyen respuestas inflamatorias así como también la regulación de la apoptosis.

#### Mecanismo de acción de NF- $\kappa$ B:



estímulo. nivel citoplasmático de la forma activa de IKK, nivel citoplasmático de la forma neutral de IKK. nivel citoplasmático de la forma inactiva de IKK. nivel citoplasmático de los complejos  $I\kappa B\alpha - NF - \kappa B$ , nivel citoplasmático de  $I \kappa B \alpha$ , nivel nuclear de NF- $\kappa$ B. nivel de ARNm del transcritpo de  $I\kappa B\alpha$ , nivel de ARNm del transcritpo de A20, nivel citoplasmático de la proteína A20. nivel nuclear de  $I\kappa B\alpha$ .

Fig. 4. Temporal control of NF-xB has qualitative ef-

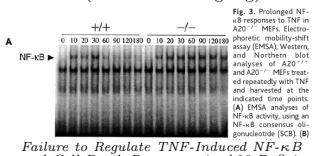
### ¿Qué datos hay?

### Datos experimentales: Modelo continuo de la vía de transducción



The IκB-NF-κB Signaling Module: Temporal Control and Selective Gene Activation
A. Hoffmann, A. Levchenko,

M. L. Scott, D. Baltimore p.1244, 8 November 2002 Vol. 298 Science (www.sciencemag.org)



Failure to Regulate TNF-Induced NF-κB and Cell Death Responses in A20-Deficient Mice

E. G. Lee, D. L. Boone, S. Chai,S. L. Libby, M. Chien, J. P. Lodolce,A. Map.2353, 29 September 2000 Vol. 289

Science (www.sciencemag.org)

de señales de NF-κB (T. Lipniacki et ál. Journal

of Theoretical Biology 228 (2004) 195–215 p. 201) 
$$\frac{d}{dt}IKKn(t) = k_{prod} - k_{deg}IKKn(t) - T_Rk_1IKKn(t).$$

$$\frac{d}{dt}IKKa(t) = T_Rk_1IKKn(t) - k_3IKKa(t) - T_Rk_2IKKa(t)A20(t)$$

$$-k_{deg}IKKa(t) - a_2IKKa(t)I\kappa B\alpha(t) + t_1(IKKa|I\kappa B\alpha)(t)$$

$$-a_3IKKa(t)(I\kappa B\alpha|NF\kappa B)(t) + t_2(IKKa|I\kappa B\alpha|NF\kappa B)(t).$$

$$\label{eq:local_equation} \frac{d}{dt}IKKi(t) = k_3IKKa(t) + T_Rk_2IKKa(t)A20(t) - k_{deg}IKKi(t).$$

$$\frac{d}{dt}NF\kappa B_n(t) = i_1k_vNF\kappa B(t) - a_1I\kappa B\alpha_n(t)NF\kappa B_n(t).$$

$$\frac{d}{dt}A20(t) = c_4A20_t(t) - c_5A20(t).$$

$$\frac{d}{dt}A20_t(t) = c_2 + c_1NF\kappa B_n(t) - c_3A20_t(t).$$

$$\frac{d}{dt}I\kappa B\alpha(t) = -a_2IKKa(t)I\kappa B\alpha(t) - a_1I\kappa B\alpha(t)NF\kappa B(t) + c_{4a}I\kappa B\alpha t(t) - c_{5a}I\kappa B\alpha(t) - i_{1a}I\kappa B\alpha(t) + e_{1a}I\kappa B\alpha_n(t).$$

$$\frac{d}{dt}I\kappa B\alpha_n(t) = -a_1I\kappa B\alpha_n(t)NF\kappa B_n(t) + i_{1a}k_vI\kappa B\alpha(t) - e_{1a}k_vI\kappa B\alpha_n(t).$$

$$\frac{d}{dt}I\kappa B\alpha_t(t) = c_{2a} + c_{1a}NF\kappa B_n(t) - c_{3a}I\kappa B\alpha_t(t).$$

 $\frac{d}{dt}(I\kappa B\alpha|NF\kappa B)(t) = a_1I\kappa B\alpha(t)NF\kappa B(t) - c_{6a}(I\kappa B\alpha|NF\kappa B)(t) - a_3IKKa(t)(I\kappa B\alpha|NF\kappa B)(t) + e_{2a}(I\kappa B\alpha_n|NF\kappa B_n)(t).$ 



Table 1
Two- and three-component interactions between IsBs, NF-sB and IKKa

| Symbol   | Values                        | Units   | Description   | Comments   |
|--|-------------------------------|---|---|--|
| σ <sub>1</sub><br>σ <sub>2</sub><br>t <sub>1</sub><br>σ <sub>3</sub> | 0.5<br>0.2<br>0.1<br>1<br>0.1 | $ \mu M^{-1} s^{-1} $ $ \mu M^{-1} s^{-1} $ $ s^{-1} $ $ \mu M^{-1} s^{-1} $ $ s^{-1} $ | IkB2-NFkB association IKKa-IkB2 association IKKaIlkB2 catalysis IKKa(IkB2(NF-kB) association (IKK IkB2 NF-kB) catalysis | Hoffmann et al. (2002)<br>Assumption<br>Any large<br>Assumption<br>Any large |
|  |                               |   |   |  |

Table 2 A20 and IκBx synthesis and degradation, IKK dynamics and total amount of free and complexed NF-κB

| Symbol           | Values             | Units           | Description                                 | Comments                |
|------------------|--------------------|-----------------|---|-------------------------|
| cle              | $5 \times 10^{-7}$ | s <sup>-1</sup> | IsBz-inducible mRNA synthesis               | Assumption              |
| C2e              | 0.0                | $\mu M s^{-1}$  | InBx-constitutive mRNA synthesis            | Assumption              |
| C3e              | 0.0004             | s-1             | IxBx mRNA degradation                       | Fitted, Blattner et al. |
| Cita             | 0.5                | s <sup>-1</sup> | IxBz translation rate                       | Fitted                  |
| C5e              | 0.0001             | s <sup>-1</sup> | Spontaneous, free Is:Bx protein degradation | Pando and Verma (2000)  |
| City             | 0.00002            | s <sup>-1</sup> | InBx degradation (complexed to NF-nB)       | Pando and Verma (2000)  |
| c <sub>1</sub>   | $5 \times 10^{-7}$ | s <sup>-1</sup> | A20-inducible mRNA synthesis                | Assumption              |
| 65               | 0.0                | $\mu M s^{-1}$  | A20-constitutive mRNA synthesis             | Assumption              |
| 63               | 0.0004             | s-1             | A20 mRNA degradation                        | Assumption              |
| C4               | 0.5                | s <sup>-1</sup> | A20 translation rate                        | Assumption              |
| es               | 0.0003             | s <sup>-1</sup> | A20 protein degradation                     | Fitted                  |
| $k_1$            | 0.0025             | s <sup>-1</sup> | IKK activation rate caused by TNF           | Fitted                  |
| k,               | 0.1                | s <sup>-1</sup> | IKK inactivation rate caused by A20         | Fitted                  |
| k <sub>1</sub>   | 0.0015             | s <sup>-1</sup> | IKK spontaneous inactivation rate           | Fitted                  |
| $k_{erof}$       | 0.000025           | $\mu M s^{-1}$  | IKKn production rate                        | Fitted                  |
| k <sub>dre</sub> | 0.000125           | s-1             | IKKa, IKKa and IKKi degradation             | Fitted                  |
| Ne               | 0.06 V             | µM V            | Total amount of free and complexed NF-κB    | Assumption, Carlotti    |

Transport between compartments, and assumed  $k_r = V/U$ , ratio of cytoplasmic and nuclear volumes

| Symbol          | Value  | Units           | Description                   | Comments   |
|-----------------|--------|-----------------|-------------------------------|------------|
| $k_t = V/U$     | 5      |                 | Cytoplasmic to nuclear volume | Assumption |
| h               | 0.0025 | s <sup>-1</sup> | NF-kB nuclear import          | Fitted     |
| e <sub>2e</sub> | 0.01   | s <sup>-1</sup> | (IκBz NF-κB) nuclear export   | Fitted     |
| lu .            | 0.001  | s <sup>-1</sup> | InBa nuclear import           | Fitted     |
| fly.            | 0.0005 | s-1             | IκBα nuclear export           | Assumption |

Table 4

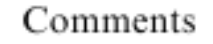
| Assumed egen po | arameters          |                 |                                  |            |
|-----------------|--------------------|-----------------|----------------------------------|------------|
| Symbol          | Value              | Units           | Description                      | Comments   |
| clc             | $5 \times 10^{-7}$ | s-1             | cgen inducible mRNA synthesis    | Assumption |
| C2r             | 0.0                | $\mu M s^{-1}$  | egen constitutive mRNA synthesis | Assumption |
| Chr             | 0.0004             | s <sup>-1</sup> | ogen mRNA degradation            | Assumption |

Mathematical model of NF-kB regulatory module. T. Lipniacki, P. Paszek, A. R. Brasier, B. Luxon, M. Kimmel.

Journal of Theoretical

Biology 228 (2004) 195-215





Assumption Fitted Fitted Fitted Assumption



#### Integrating Computational and **Biochemical Studies to Explore** Mechanisms in NF-kB Signaling\* Published, JBC Papers in Press, October 20, 2008, DOI 10.1074/ibc.R800008200

Jeffrey D. Kearns and Alexander Hoffmann

From the Signaling Systems Laboratory, Department of Chemistry and Biochemistry, University of California, San Diego, La Jolla, California 92093

A balance must be achieved during the parameterization process to avoid under- or over-constraining the model. If too few values are experimentally determined, there may be several possible parameter sets that recapitulate network behavior, but conversely, when too many experiments are done, the model may be incapable of doing so. In these cases, the data that cannot be accounted for by the model may motivate subsequent studies and in turn result in a revised version of the model.

biochemical rate constants derived from in vitro measurements and quantitative cell biology meant that one-third of the 73 parameters were known with a high degree of confidence, onethird were significantly constrained by literature data, and only the remaining third had to be derived from parameter fitting.









No.



No.

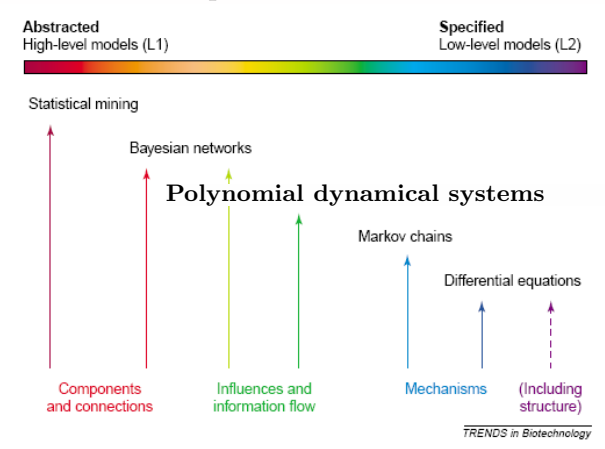
Nosotros también ajustaremos parámetros, pero en un contexto diferente.



ntroducción Modelo Resultados Conclusiones Trabajo en curso Referencia

## ¿Qué contexto?

### Métodos matemáticos para modelar:



Trends Biotech 2003. Building with a scaffold: emerging strategies for high- to low-level cellular modeling. Ideker et ál.



Con más precisión: Sistemas dinámicos polinomiales sobre cuerpos finitos.



¿Cuáles son las ventajas?



Con más precisión: Sistemas dinámicos polinomiales sobre cuerpos finitos.

¿Cuáles son las ventajas?

Bueno...



¿Cuáles son las ventajas?

Bueno...también ajustamos parámetros, pero sobre un conjunto finito.



### El modelo

Discretizamos los datos en dos o tres estados.

|                | ΙκΒ | $_{	ext{NF-}\kappa 	ext{B}}^{	ext{I}\kappa 	ext{B}-}$ | IKKa | $NF-\kappa B_n$ | $I \kappa B_n$ | $I\kappa B_t$ | S | A20 | $A20_t$ | IKKi | IKKne |  |
|----------------|-----|---|------|-----------------|----------------|---------------|---|-----|---------|------|-------|--|
| t <sub>0</sub> | 0   | 2   | 0    | 0               | 1              | 0             | 1 | 0   | 0       | 0    | 2     |  |
|                | ψ.  |   |      |                 |                |               |   |     |         |      |       |  |
| $t_1$          | 0   | 2   | 2    | 0               | 1              | 0             | 1 | 0   | 0       | 0    | 1     |  |

$$f: A \subseteq \{0, 1, 2\}^{11} \to \{0, 1, 2\}^{11}$$

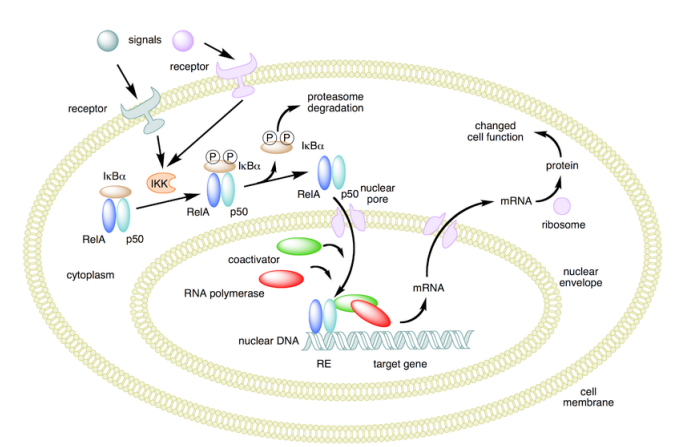


Además, cada nodo depende de a lo sumo 4 otros nodos. Y por lo tanto podemos pensar  $f_i: A_i \subseteq \mathbb{F}_3^{k_i} \to \mathbb{F}_3$  para algún  $1 \le k_i \le 4$ .



Por ejemplo,  $I\kappa B$  sólo depende de sí mismo,  $IKKa, I\kappa Bn$  e  $I\kappa Bt.$ 

Luego,  $f_{I\kappa B}: \mathbb{F}_3^4 \to \mathbb{F}_3$ .





¿Cuáles son los nodos con solo dos niveles?



¿Cuáles son los nodos con solo dos niveles? A20 y S.



¿Cuáles son los nodos con solo dos niveles? A20 y S.

$$Im(f_{A20}) \subseteq \{0, 1\}, \quad Im(f_S) \subseteq \{0, 1\}$$



¿Cuáles son los nodos con solo dos niveles? A20 y S.

$$Im(f_{A20}) \subseteq \{0, 1\}, \quad Im(f_S) \subseteq \{0, 1\}$$

 $\ensuremath{\mathcal{C}}$ ómo encontramos los polinomios que dependen de A20 o de S?



### Ejemplo simple:

$$x \longleftrightarrow \{0,1\}, \quad y \longleftrightarrow \{0,1,2\}$$

En  $\mathbb{F}_3$ :

$$a^3 = a \ \forall a$$

$$0^2 = 0, 1^2 = 1 \Rightarrow x^2 = x$$

$$g(x,y) = \alpha_1 + \alpha_2 x + \alpha_3 y + \alpha_4 xy + \alpha_5 y^2 + \alpha_6 xy^2$$

6 incógnitas, 
$$6 = \#(\{0,1\} \times \{0,1,2\})$$



troducción (Modelo) Resultados Conclusiones Trabajo en curso Referencias

### Cómo construimos las funciones:

| $I\kappa B$ | $I\kappa B_n$ | NF-          | $\Rightarrow$ | f (I <sub>10</sub> D         |
|-------------|---------------|--------------|---------------|------------------------------|
| 17.12       | n             | $\kappa B_n$ | ~             | $f_{I\kappa B_n}(I\kappa B,$ |
|             |               | nDn          |               | $I \kappa B_n$ , NF-         |
|             |               |              |               | $\kappa \mathbf{B}_n$        |
| 0           | 0             | 0            | ⇒             | 0                            |
| 1           | 0             | 0            | $\Rightarrow$ | 1                            |
| 2           | 0             | 0            | $\Rightarrow$ | 2                            |
| 0           | 1             | 0            | $\Rightarrow$ | 1                            |
| 1           | 1             | 0            | $\Rightarrow$ | 1                            |
| 2           | 1             | 0            | $\Rightarrow$ | 2                            |
| 0           | 2             | 0            | $\Rightarrow$ | 1                            |
| 1           | 2<br>2<br>2   | 0            | ⇒             | 2 2                          |
| 2           |               | 0            | $\Rightarrow$ | 2                            |
| 0           | 0             | 1            | $\Rightarrow$ | 0                            |
| 1           | 0             | 1            | $\Rightarrow$ | 1                            |
| 2           | 0             | 1            | <b>† † †</b>  | 2                            |
| 0           | 1             | 1            | $\Rightarrow$ | 0                            |
| 1           | 1             | 1            | $\Rightarrow$ | 1                            |
| 2           | 1             | 1            | $\Rightarrow$ | 1                            |
| 0           | 2             | 1            | $\Rightarrow$ | 1                            |
| 1           | 2             | 1            | $\Rightarrow$ | 1                            |
| 2           | 2             | 1            | $\Rightarrow$ | 2                            |
| 0           | 0             | 2            | ⇒             | 0                            |
| 1           | 0             | 2            | $\Rightarrow$ | 1                            |
| 2           | 0             | 2            | $\Rightarrow$ | 2                            |
| 0           | 1             | 2            | ⇒             | 0                            |
| 1           | 1             | 2            | ⇒             | 1                            |
| 2           | 1             | 2            | ⇒             | 2                            |
| 0           | 2             | 2            | ⇒             | 0                            |
| ĭ           | 2             | 2            | ⇒             | ĭ                            |
| 2           | 2             | 2            | ⇒             | 2                            |
| _           | _             |              | 7             | _                            |

```
TkBn:
matrix b16[27][1];
b16[1,1]=0; //the image of (IkB=0,IkBn=0,NF-kBn=0)
b16[2,1]=1; //the image of (1,0,0)
b16[3,1]=2; //the image of (2,0,0)
ſ...1
//q=a1+a2x+a3y+a4z+a5x^2+a6y^2+a7z^2+a8xy+a9xz+a10yz+[...]
matrix A16[27][27]:
int i=1;
for(int 1=3; 1<=5; 1=1+1)
for(int k=3; k<=5; k=k+1)
for(int i=3: i<=5: i=i+1)
  A16[i,1]=1; A16[i,2]=j; A16[i,3]=k; A16[i,4]=1; A16[i,5]=j^2; A16[
  A16[i,7]=1^2; A16[i,8]=j*k; [...]
  i=i+1;
matrix B16=inverse(A16):
matrix C16=B16*b16;
poly q16=C16[1,1]+C16[2,1]*x+C16[3,1]*y+[...]+C16[27,1]*x^2*y^2*z^2;
poly f16=subst(q16,x,x1,y,x16,z,x15);
1/
//
```



### Por ejemplo:

$$f_{\mathrm{I}\kappa\mathrm{B}_t}:\mathbb{F}_3^2\to\mathbb{F}_3$$

$$f_{\mathrm{I}\kappa\mathrm{B}_{t}} = (1 + x_{\mathrm{I}\kappa\mathrm{B}_{t}})^{2} x_{\mathrm{NF}\kappa\mathrm{B}_{n}} + x_{\mathrm{I}\kappa\mathrm{B}_{t}} (x_{\mathrm{I}\kappa\mathrm{B}_{t}} + 2)(1 + x_{\mathrm{NF}\kappa\mathrm{B}_{n}}^{2})$$



• Consideramos actualizaciones sincrónicas.



• E hicimos muchas suposiciones biológicas.



ntroducción Modelo **Resultados**) Conclusiones Trabajo en curso Referencias

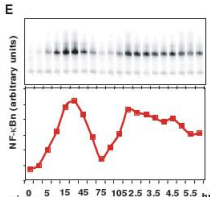
# Transiciones en el caso del tipo silvestre con estímulo persistente:

| IsB | NF-KB | IKKa | NF-<br><sub>KB</sub> <sub>n</sub> | $\mathbf{I}\kappa\mathbf{B}_n$ | $\mathbf{I}\kappa\mathbf{B}_t$ | s | A20 | A20 <sub>1</sub> | IKKi | IKKne |
|-----|-------|------|-----------------------------------|--------------------------------|--------------------------------|---|-----|------------------|------|-------|
| 0   | 2     | 0    | 0                                 | 1                              | 0                              | 1 | 0   | 0                | 0    | 2     |
| 0   | 2     | 2    | 0                                 | 1                              | 0                              | 1 | 0   | 0                | 0    | 1     |
| 0   | 0     | 2    | 2                                 | 1                              | 0                              | 1 | 0   | 0                | 2    | 1     |
| 0   | 1     | 2    | 2                                 | 0                              | 2                              | 1 | 0   | 2                | 2    | 1     |
| 0   | 0     | 2    | 2                                 | 0                              | 2                              | 1 | 1   | 2                | 2    | 1     |
| 0   | 0     | 1    | 2                                 | 0                              | 2                              | 1 | 1   | 2                | 2    | 1     |
| 2   | 0     | 1    | 2                                 | 0                              | 2                              | 1 | 1   | 2                | 2    | 1     |
| 2   | 0     | 1    | 2                                 | 2                              | 2                              | 1 | 1   | 2                | 2    | 1     |
| 2   | 2     | 1    | 0                                 | 2                              | 2                              | 1 | 1   | 2                | 2    | 1     |
| 2   | 1     | 1    | 1                                 | 2                              | 1                              | 1 | 1   | 1                | 2    | 1     |
| 1   | 1     | 1    | 1                                 | 2                              | 1                              | 1 | 1   | 1                | 2    | 1     |
| 1   | 1     | 1    | 1                                 | 1                              | 1                              | 1 | 1   | 1                | 2    | 1     |

The  $I\kappa B-NF-\kappa B$  Signaling Module: Temporal Control and Selective Gene Activation

A. Hoffmann, A. Levchenko,

M. L. Scott, D. Baltimore



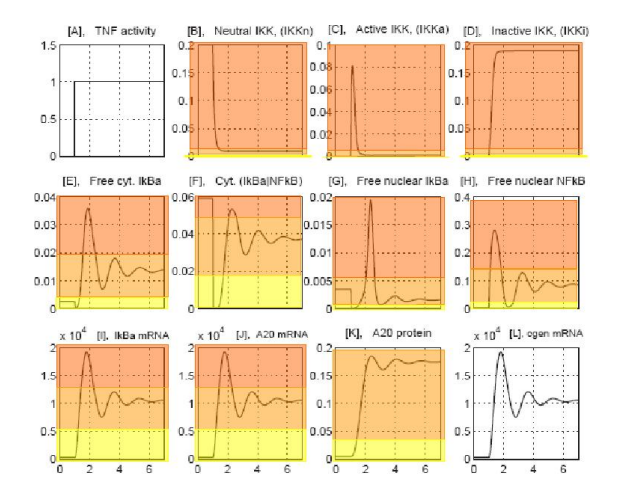
min 2 10 30 60 90 2 3 4 5 6

(E) Biochemical analysis of NF-κB and IκB isoforms in wild-type fibroblasts. NF-κBn

(top) assayed by EMSA at the indicated times after pessistent stimulation with TNF-or. The specific NF-wB-specific mobility shift was quantitated by phosphoimager and normalized and graphed at the indicated nonlinear time scale. Western blots of corresponding cytoplasmic fractions are probed with anti-bodies specific to laBe and -9 (bottom) and laBe (above). [7] Verifica-

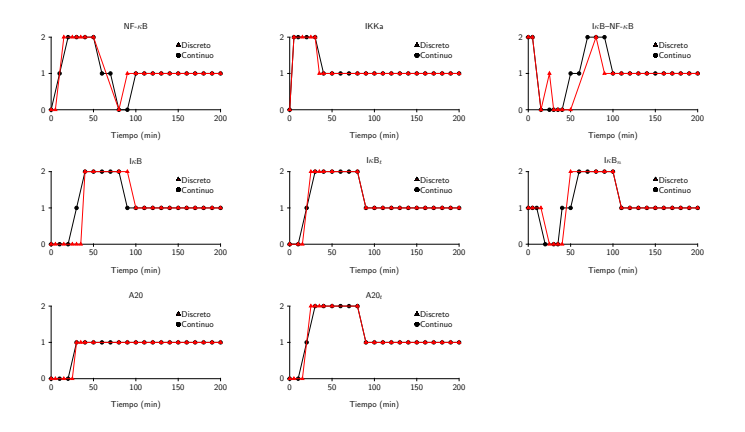


# Reproduce la dinámica del modelo cinético en Lipniacki et ál., 2004:



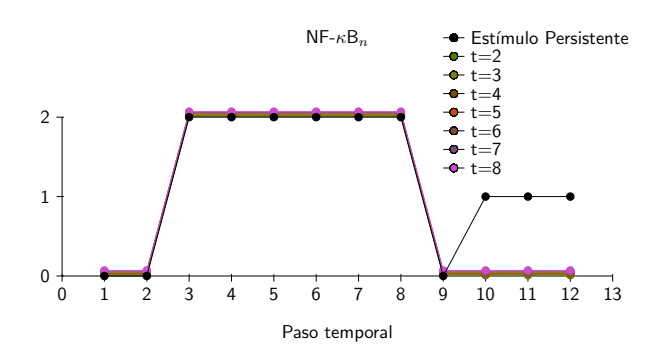


### Reproduce la dinámica del modelo cinético en Lipniacki et ál., 2004:





# Evolución de NF- $\kappa$ B<sub>n</sub> en el modelo discreto cuando se remueve el estímulo en distintos pasos temporales:



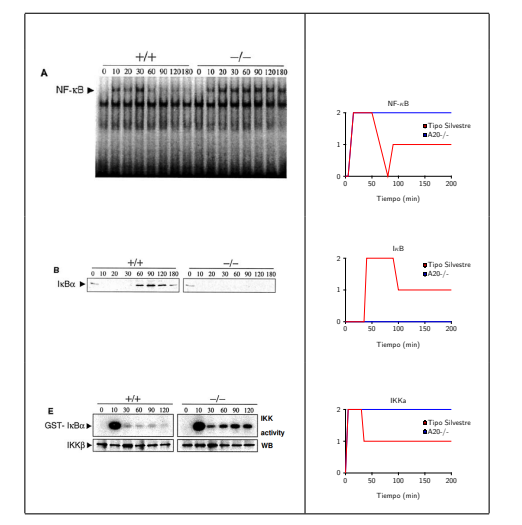


### Evolución del sistema en el modelo discreto cuando se remueve el estímulo en el estado de equilibrio:

| IκB | IκB-<br>NF-κB | IKKa | $\kappa \mathbf{E}_n$ | $\mathbf{I}\kappa\mathbf{B}_n$ | $\mathbf{I}\kappa\mathbf{B}_t$ | s | A20 | $A20_t$ | IKKi | IKKne |
|-----|---------------|------|-----------------------|--------------------------------|--------------------------------|---|-----|---------|------|-------|
| 1   | 1             | 1    | 1                     | 1                              | 1                              | 0 | 1   | 1       | 2    | 1     |
| 1   | 1             | 0    | 1                     | 1                              | 1                              | 0 | 1   | 1       | 2    | 1     |
| 1   | 2             | 0    | 0                     | 1                              | 1                              | 0 | 1   | 1       | 2    | 1     |
| 1   | 2             | 0    | 0                     | 1                              | 0                              | 0 | 1   | 0       | 2    | 1     |
| 1   | 2             | 0    | 0                     | 1                              | 0                              | 0 | 0   | 0       | 2    | 1     |



# El modelo discreto también reproduce la dinámica en el caso A20-/- (Lee et ál., 2000):





### Conclusiones

• Este modelo es independiente de parámetros como constantes de afinidad y catalíticas las cuales en muchos casos son muy difíciles de determinar y requieren mucho conocimiento del sistema (lo cual, salvo para NF- $\kappa$ B y algún otro caso particular, es muy poco frecuente).



### Conclusiones

• Este modelo es independiente de parámetros como constantes de afinidad y catalíticas las cuales en muchos casos son muy difíciles de determinar y requieren mucho conocimiento del sistema (lo cual, salvo para NF- $\kappa$ B y algún otro caso particular, es muy poco frecuente).

 Puede construirse con el mismo tipo de información que normalmente se maneja en biología: IκB se une a NF-κB e impide que vaya a núcleo, IKK induce la degradación de IκB, etc.



### Conclusiones

- Este modelo es independiente de parámetros como constantes de afinidad y catalíticas las cuales en muchos casos son muy difíciles de determinar y requieren mucho conocimiento del sistema (lo cual, salvo para NF- $\kappa$ B y algún otro caso particular, es muy poco frecuente).
- Puede construirse con el mismo tipo de información que normalmente se maneja en biología: IκB se une a NF-κB e impide que vaya a núcleo, IKK induce la degradación de IκB, etc.
- Y a pesar de sólo requerir este tipo de datos, puede proveer más información como predicciones en los casos mutantes o al interrumpir el estímulo en un instante específico.



• Estudio de la dinámica del sistema (16 puntos fijos, 1 ciclo).



- Estudio de la dinámica del sistema (16 puntos fijos, 1 ciclo).
- Estudio de más casos (otros mutantes, sobre-activaciones, etc.)



- Estudio de la dinámica del sistema (16 puntos fijos, 1 ciclo).
- Estudio de más casos (otros mutantes, sobre-activaciones, etc.)
- Estudio del caso asincrónico.



- Estudio de la dinámica del sistema (16 puntos fijos, 1 ciclo).
- Estudio de más casos (otros mutantes, sobre-activaciones, etc.)
- Estudio del caso asincrónico.
- Estudio de otros casos que involucran aleatoriedad.



- Estudio de la dinámica del sistema (16 puntos fijos, 1 ciclo).
- Estudio de más casos (otros mutantes, sobre-activaciones, etc.)
- Estudio del caso asincrónico.
- Estudio de otros casos que involucran aleatoriedad.
- ...



troducción Modelo Resultados Conclusiones Trabajo en curso (Referencias

#### Referencias



The  $I\kappa B\alpha$ - NF- $\kappa B$  signaling module: temporal control and selective gene activation.

Science 298,1241-1245, 2002.



Integrating Computational and Biochemical Studies to Explore Mechanisms in NF- $\kappa B$ Signaling.

Journal of Biological Chemistry 284, no. 9, 5439 â5443, 2009



Failure to regulate TNF-induced NF- $\kappa B$  and cell death responses in A20-deficient mice.

Science 289, 2350-2354, 2000



 $NF \cdot \kappa B$  controls expression of inhibitor  $I\kappa B\alpha$ : evidence for an inducible autoregulatory pathway.

Science 259 1912-1915 1993



